

IV-137 尻構造の沈下に関する室内および現場実験

日本鉄道技術研究所 王 勇 桃井 徹

1 まえがき

層構造の弾性論による理論的研究は 古くからおこなわれており、現在では種々の条件下での沈下、あるいは応力、ひずみを求めるための図表が数多く提案されている。そして、これらの理論を室内または現場データに適用し、その妥当性を示して報告が多い。一方、現時点では、これらの理論によって、現地のタクミ試験結果を整理するのは非常に難しいであろうとしている報告もある。

そこで 本研究は層構造の荷重・沈下関係を再検討し、その傾向を知るとともに、実験式を得ることを目的とし、併せて 尻構造の静的載荷に関する弾性理論の適用性をチェックしようとするものである。

今回は、静的載荷試験から得られた荷重沈下関係について、室内と現場の測定結果について報告する。

そして、 尻構造を構成して各層の荷重・沈下関係は、載荷位置、構造条件などの影響を受けること、またそれにともない 各層の力学定数の考え方には、問題を生じることなどを示した。

2 実験方法

2.1 室内実験 室内実験は 図-1のゴムピットに上層、下層からなる2層構造を設け平板によく返し載荷をおこなったものである。上層、下層の沈下はダイヤルゲージ および 差動トランク型の変位計、荷重はゲルーピュグリング、土中応力は小型の土圧計により測定した。また 上層、下層材料の含水比変化を防ぐ目的で、その境界にビニールシートを敷設した。なま、実験中途にかけた含水比、および 温度変化をチェックする意味で、吸収体の電気抵抗を測定するタイピングの含水比計 および 温度計を埋設した。図-2は上層、下層材料の粒度、比重である。

2.2 現場実験、ここでは 名神高速道路の破壊原因調査（昭和47年）の際におこなったものである。現場実験は 鋼管各層界面における返し平板載荷試験であるが、既設舗装に約 1m × 3m のピットを掘削、各層をはぎとりながら試験したものである。

3 実験結果

3.1 室内実験 (1) 復元変位 実験データの整理に当っては、通常 弾性理論を適用する際に、もともと良い解析結果を与えるとされてる復元変位に着目した。復元変位は図-3に示す。

$$w_1 = \Delta_{1P} - \Delta_{1D}$$

$$w_2 = \Delta_{2P} - \Delta_{2D}$$

} ①

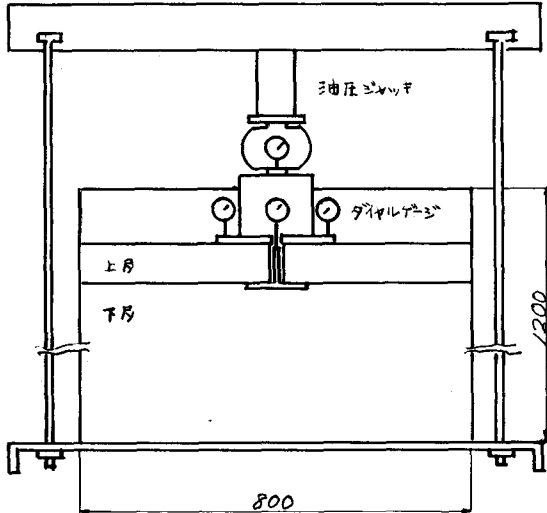


図-1 テストヒット

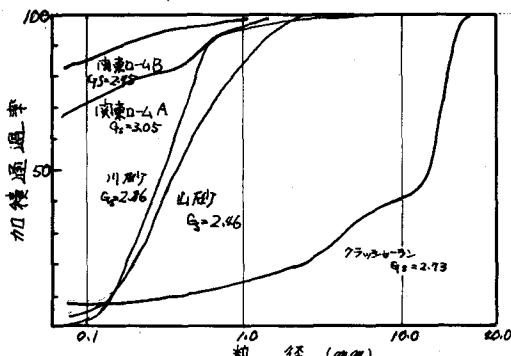


図-2 使用した材料の粒度

$$w = w_1 + w_2$$

$w = w_1 + w_2$ は上戻下戻上戻面の復元変位

Δ_{1P}, Δ_{2P} は上戻下戻の載荷時の変位

Δ_{10}, Δ_{20} は上戻下戻の除荷時の変位

実験結果の一例を図-4に示す。

(2) 結果の整理

それらの曲線に 2次式②、および1次式③を仮定し、各式の係数を吟味した。

$$\left. \begin{aligned} w_1 &= 2a(P - P_0) k \{ 1 + C_1 2a(P - P_0) \} \\ w_2 &= 2a(P - P_0) k \{ 1 + C_2 2a(P - P_0) \} \\ w &= 2a(P - P_0) k \{ 1 + C_2 a(P - P_0) \} \\ k &= k_1 + k_2, C = \frac{C_1 k_1 + C_2 k_2}{k_1 + k_2} \end{aligned} \right\} \quad \text{②}$$

$$\left. \begin{aligned} w_1 &= 2a(P - P_0) m_1 \\ w_2 &= 2a(P - P_0) m_2 \\ w &= 2a(P - P_0) m \end{aligned} \right\} \quad \text{③}$$

w_1, w_2, w は各戻の復元変位

P, a は 載荷々重 および 載荷半径

$k, k_1, k_2, C_1, C_2, C, m_1, m_2, m$ は係数

P_0 は 実験定数

実験結果の一例を図-6に示す。

3.2 現場実験

現場試験から得られた各戻表面の $w - P$ の関係の一例を図

5-1に、また ②式を適用した例を表-1に示す。

4 卷 燥

Ode markの近似式の型を有する2戻構造の沈下式を仮定する。

$$\left. \begin{aligned} w &= 2a(P - P_0) K_2 F_w \\ F_w &= \left(1 - \frac{1}{\sqrt{1 + (\frac{a}{R})^2}} \right) \frac{K_1}{K_2} + \frac{1}{\sqrt{1 + (\frac{a}{R})^2} \left(\frac{K_1}{K_2} \right)^2} \end{aligned} \right\} \quad \text{④}$$

w は上戻面の復元変位、 P は載荷々重
 a は上戻厚、 R は載荷半径、 F_w は沈下係数
 K_1, K_2 は上戻下戻の力学定数、 P_0 は実験定数

なお 力学定数 K_1, K_2 を導入した理由は、現時では舗装用材料の弾性係数あるいはボアソン比を採用するのは、問題点が多くなったからである。

復元変位-荷重関係として、②式の初期接線、および④式を基に、②式に対応させて、 K_1, K_2 を導出した。図-7は $w - P$ のみに着目した場合、図-8は上戻

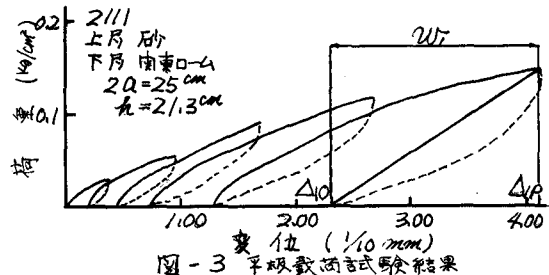


図-3 平版載荷試式験結果

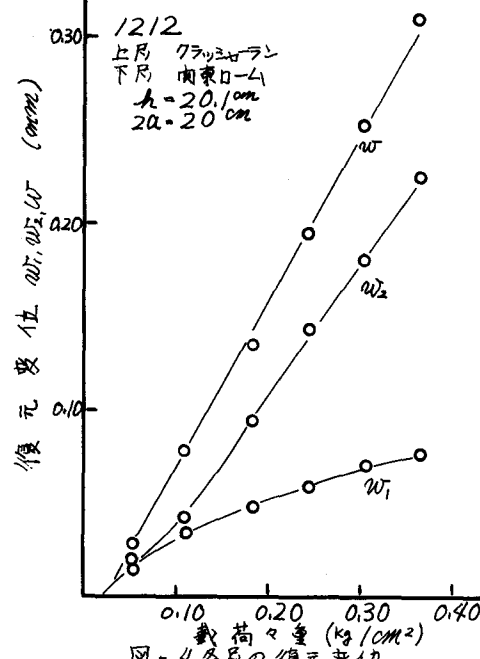


図-4 各戻の復元変位

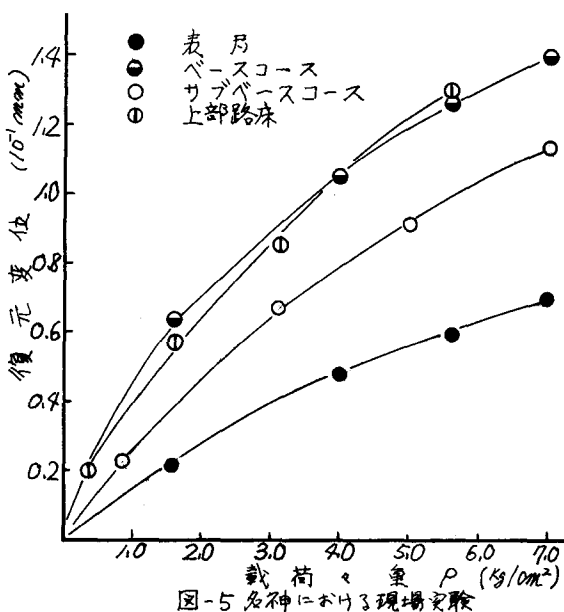


図-5 名神における現場実験

と下戸の $w_1 - P$, $w_2 - P$ に着目した場合の解剖結果である。

5 結論

1) 室内実験において、分岐 $-P$, $w_2 - P$ 曲線は放物線的変化するが、兩者の和である $w - P$ は、ほぼ直線的の傾向を有していた。(図-4 参照)

2) これに対し、現場データ

上にかけた $w - P$ は、直線的

の場合も、放物線的の場合もあつた。(図-5 参照)

2) ②, ③ 式の係数 a, b, c, m, m_1, m_2 および 2 次の項の係数 C, C_1, C_2 などは、いずれも多くの影響を受けていた。(図-6 参照)

3) 実験定数 P_0 は、本来複雑な関係にあるべき復元変位-荷重関係に、2 次式あるいは 1 次式をあてはめた事により生じたものか、あるいはより基本的な問題を含むものが明らかでなかつた。ただし、現場データの範囲では、 P_0 は試験誤差と奉えられた。

4) ④式の実験式により、2 戻構造表面の復元変位を表わすことができた。しかし、④式を適用する際には、着目する復元変位の量によって、上戸、下戸の力学定数に異った解剖結果を与える場合があつた。(図-7, 8 参照) これは図-4 の $w_1 - P$, $w_2 - P$ の型に因縁しているものなので、さらに考慮を加える必要がある。

5) 名神の調査データに④式を適用して、解剖を加えた結果、舗装の性状を説明することができた。これについては、別の機会に報告したい。

謝辞

当研究を進めるに当つては、中央大学 星整 教授より、研究の全般に渡つて、懇切丁寧なる御指導を賜つて頂いたことを記し、謝意を表する次第であります。

表-1 名神のデータへの④式の適用例

別	係数	$a \text{ cm}^2/\text{kg}$	C	$P_0 \text{ kg/cm}^2$
サーフェス	0.847×10^3	1.277×10^3	-0.158	
ベースコース	0.847	1.349	-0.111	
サブベース	0.750	1.215	-0.123	
上部路床	0.949	1.233	-0.123	

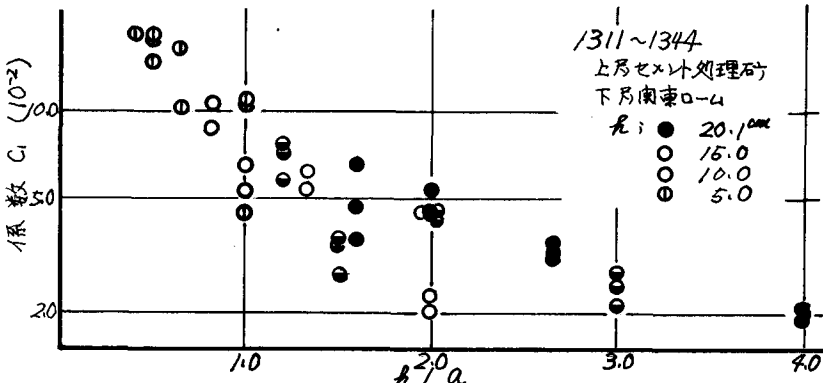


図-6 ②式における 3 次の項 C_1 との関係

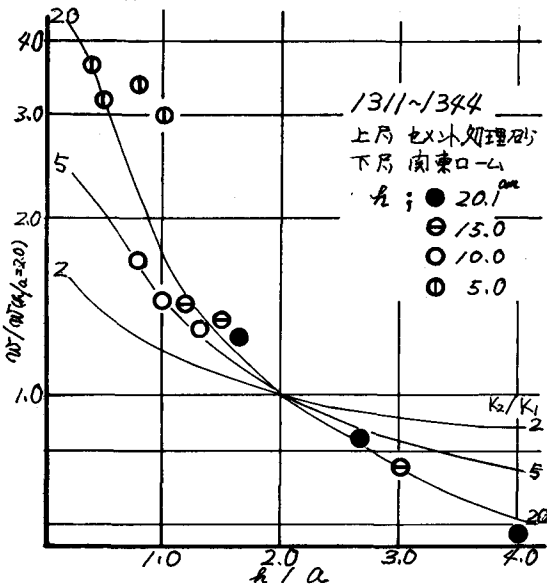


図-7 $w - P$ のみに着目して、④式を適用した場合

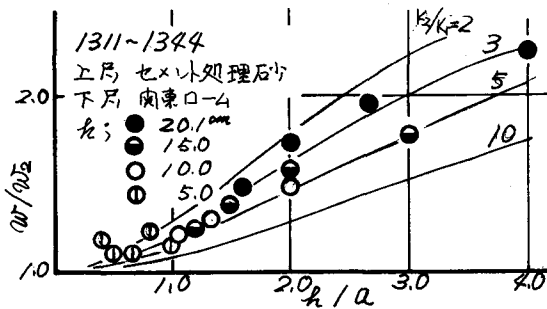


図-8, $w_1 - P$, $w_2 - P$ に着目し ④式を適用した場合